

بررسی نحوه تشکیل مجموعه کانیهای سرپانتین-تالک-کلینوکلر در کانسار آهن گل‌گهر، سیرجان

گلاله اصغری^۱، حسن میرنژاد^{۱*}، جلیل قلمقاش^۲

^۱دانشکده زمین شناسی، پردیس علوم، دانشگاه تهران

^۲مدیریت زمین شناسی منطقه‌ای، سازمان زمین شناسی و اکتشافات معدنی ایران

*مسئول مکاتبات-آدرس الکترونیکی: mirnejad@khayam.ut.ac.ir

(دریافت: ۱۲/۱۵؛ پذیرش: ۸/۶/۸۹)

چکیده

کانسار آهن گل‌گهر در ۵۵ کیلومتری جنوب غرب سیرجان، در زون زمین ساختی سنتندج-سیرجان واقع شده است. سنگ‌های همبر کانسار شامل واحدهای دگرگونی کمپلکس گل‌گهر مشتمل از آمفیبولیت، میکاشهیست، مرمر و گرافیت شیست به سن پالغوزئیک است. سرپانتین، تالک و کلینوکلر از جمله کانی‌های هستند که منحصراً به صورت پرکننده فضای میان دانه‌های مگنتیت و یا به صورت نواری و آمیختگی نامنظم همراه با کانه متشابهه می‌شوند. بنابراین انتظار می‌رود که بررسی نحوه تشکیل مجموعه کانی‌های سرپانتین، تالک و کلینوکلر به درک بیشتری از ژنز و تکامل کانسنس آهن گل‌گهر منجر شود. براساس مطالعات صحرایی، پتروگرافی و شیمی کانی‌ها مشخص گردید که این مجموعه در طی سه مرحله حرارتی تشکیل شده‌اند. مرحله دمای بالا (بیش از ۵۵۰ درجه سانتیگراد) که با تشکیل الیوین همراه بوده است. با افت دما به کمتر از ۲۵۰ درجه سانتیگراد و XCO₂ به بیشتر از ۵/۰، الیوین در مرحله متاسوماتیسم به سرپانتین (عمدتاً لیزاردیت و کریزوتبیل) دگرسان شده و در ادامه تالک تحت تأثیر دگرسانی سرپانتین بوجود آمده است. با توجه به مشاهدات بافتی و محاسبات دماسنجی بنظر می‌رسد کانی کلینوکلر پس از سرپانتینی شدن و با افزایش مجدد دما در مرحله دگرگونی تشکیل شده است. مراحل فوق در کانسنس آهن اثر گذار بوده بطوریکه در مرحله متاسوماتیسم کانه مگنتیت اکسیده شده و در مرحله دگرگونی تحت تاثیر تبلور قرار گرفته است.

واژه‌های کلیدی: تالک، سرپانتین، دگرگونی، کانسار آهن گل‌گهر، کلینوکلر، متاسوماتیسم

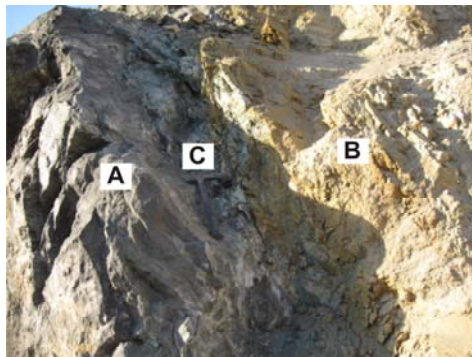
مقدمه

کانسار آهن گل‌گهر در ۵۵ کیلومتری جنوب غرب شهرستان سیرجان، استان کرمان و در طول جغرافیایی ۱۵° تا ۲۴°، ۵۵° تا ۵۰° شرقی و ۳° تا ۷° عرض شمالی در مناطق کویری و خشک جنوب ایران واقع شده است. این کانسار از لحاظ زمین شناسی به بخش شرقی زون سنتندج-سیرجان در کمربند کوه‌های زاگرس تعلق دارد (شکل ۱الف). منطقه مورد مطالعه عموماً از آبرفت‌های عهد حاضر پوشیده شده و رخمنوهای محدودی از سنگ‌های دگرگونی در جنوب و جنوب غرب، سنگ‌های رسوبی در شرق و توده نفوذی گرانیت میلیونیتی به شکل ۱ب). کانسار آهن گل‌گهر در قدیمی ترین واحد سنگی ناحیه کوارتز مسکویت شیست، گارنت شیست، آمفیبول شیست، کالک شیست، گرافیت شیست و مرمر از توالیهای کمپلکس مذکور هستند که تا رخساره آمفیبولیت دگرگون شده و سپس دگرگونی قهقهایی تا درجات پایین رخساره شیست سبز در آنها اتفاق افتاده است. داده‌های سن سنگی Ar/K مربوط به آمفیبول و میکا در گنیسه‌های ناحیه نیریز سن

فراآیند اسکارن‌زایی می‌دانند. از آنجاییکه بررسی کانیهای غیر فلزی همراه با هر ماده معدنی به منظور تعیین منشأ و نیز تفسیر رخدادهای حاکم در زمان تشکیل کانسار و یا پس از آن از اهمیت خاصی برخوردار است، در این مطالعه با استفاده از نتایج سنگ شناسی و شیمی کانیهای، شرایط ایجاد کانیهای تالک، سرپانتین و کلریت همراه با کانسار آهن گل‌گهر مورد بررسی قرار می‌گیرد.

جاگاه زمین شناسی و تکتونیکی کانسار گل‌گهر

پایین بوده اما در مگنتیت تحتانی درصد آن بالا می باشد (بیش از ۰/۲%). مگنتیت میانی اکسید آهن (هماتیت، لیمونیت) بالاتری نسبت به دو قسمت دیگر دارد. باندها و لایه هایی از سنگهای آمفیبولیت، کلریت شیست، تالک شیست و سرپانتینیت با سطح تماس ناگهانی میان سنگهای دگرگونی کمپلکس گل گهر با توده معدنی در دیواره معدن قرار می گیرند (شکل ۲).



شکل ۲: نمایی از باند کلریت شیست (C) با مرز ناگهانی (گسله) میان توده معدنی (A) و واحدهای سنگی کمپلکس گل گهر (B).

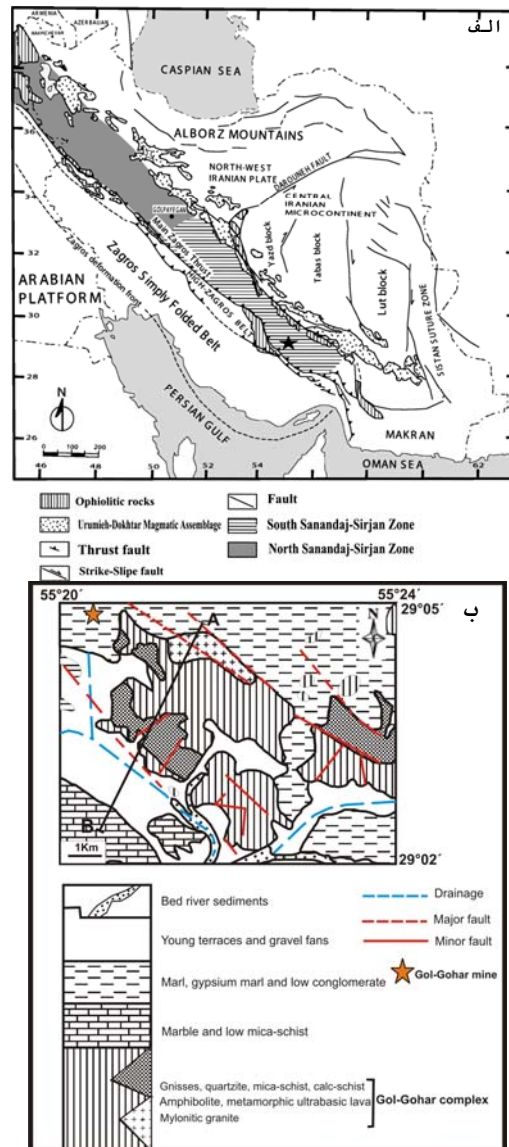
روش مطالعه

در ابتدا طی بررسیهای صحراوی از رخنوموهای ناحیه معدن روباز و مغزه های حفاری نمونه برداری شد. در راستای مطالعات کانی شناسی و بافتی علاوه بر تهیه مقاطع نازک و نازک صیقلی، از پراش پرتو ایکس (XRD) برای شناسایی کانی ها و از روش آنالیز الکترون میکرپرور (EMPA) جهت مطالعه شیمی کانیهای موجود استفاده شده است. پراش نمونه آنالیز شده توسط دستگاه Philips PW1800 diffractometer و در آزمایشگاه اشعه ایکس سازمان زمین شناسی و تحقیقات معدنی بدست آمد و آنالیز شیمیایی کانیها به کمک دستگاه الکترون پرور Cameca Camebax و در دپارتمان زمین شناسی دانشگاه کارلتون کانادا انجام پذیرفت.

مشاهدات صحراوی و مطالعات پتروگرافی

بهره برداری از توده معدنی شماره یک به شکل روباز در حال حاضر به قسمت تحتانی کانسار محدود شده است. در زونهای برشی و شکستگیهای دیواره معدن مجموعه کانیهای سرپانتین، تالک، کلریت تمرکز عمده ای دارند و به دلیل رنگ روشن تر حتی از فواصل دور از کانسنگ آهن قابل تشخیص هستند. وجود این مواد به عنوان پرکننده شکستگیها منجر به نایابیاری دیواره های معدن و ریزش در برخی قسمتها گردیده است. کانیهای تالک، کلریت و سرپانتین در قالب رگه و یا به شکل آمیختگیهای نامنظم همراه با ماده معدنی دیده می شوند. همچنین در مغزه های حفر شده از اعماق ۱۴۶-۱۴۰ و ۲۰۷-۲۱۲

پالئوزوئیک (۳۰۰ میلیون سال) را برای کمپلکس مذکور نشان داده است

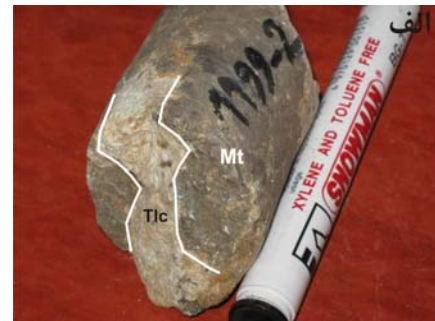
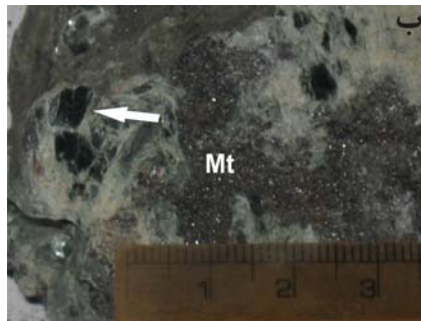


شکل ۱: الف- موقعیت کانسار گل گهر در زون سنندج- سیرجان. ب- نقشه زمین شناسی خلاصه شده جنوب کانسار، اقتباس از نقشه زمین شناسی ۱/۱۰۰۰۰۰ گل گهر (سبزه‌ای، ۱۳۷۴).

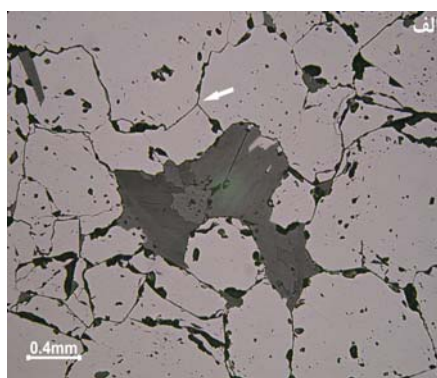
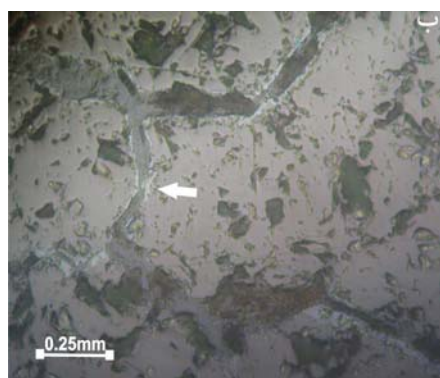
(Sheikholeslami *et al.* 2003). مرز میان سکانس پالئوزوئیک و توالیهای رسوبی تربیس پسین (آهک ریفی) و ژوراسیک (آهک الیتی، کنگلومرا) در شرق معدن ناپیوستگی سیمیرین پیشین می باشد. کانسار آهن گل گهر دارای ۶ توده معدنی است که توده عدسی شکل شماره ۱ از لحاظ ترکیب و عیار ماده معدنی به سه قسمت: مگنتیت فوقانی، مگنتیت میانی و مگنتیت تحتانی تقسیم بندی می شود. در مگنتیت فوقانی درصد گوگرد در قالب کانی های پیریت، کالکوپیریت و پیروپیت

بیشتر در شکستگیها و شکافها به شکل تیغه‌های نازک کاملاً عمود بر دیواره شکاف رشد کرده است (شکل ۵، ج). کلینوکلر اغلب در زمینه‌ای از سرپانتین رشد نموده و ادخالهایی از سرپانتین را در میان گرفته است (شکل ۵، د) که این امر نشان دهنده رشد کلینوکلر پس از سرپانتین است. پیچ‌خوردگی کلینوکلر اعمال استرس بر محیط و دگرشکلی پس از سرپانتینی شدن را نشان می‌دهد (شکل ۵، و). کانی کلینوکلر گاهی به شکل ادخالهای ریز ایدیومورف، به صورت همرشد با سرپانتین نیز در زمینه مگنتیت دیده می‌شود (شکل ۵، ه) و گاهی نیز به شکل ورقه‌های متوسط تا درشت، در مرز کانه‌های مگنتیت پراکنده‌اند. تالک در چند نسل هم به صورت جایگزین سرپانتین و همراه با الیوین و هم به شکل باندهای تالک شیست غنی از کانی تالک (۹۰٪) گسترش یافته است. فولیاسیون در کانیهای ذکر شده به وضوح قابل مشاهده است. نتایج حاصل از پراش پرتو ایکس حضور مجموعه کانی‌های تالک، کلسیت، کلریت و منیزیت را در تالک شیست، مشخص می‌نماید (شکل ۶) که البته تالک و کلریت فراوانتر بوده و کانی کلریت از نوع کلینوکلر شناسایی شده است.

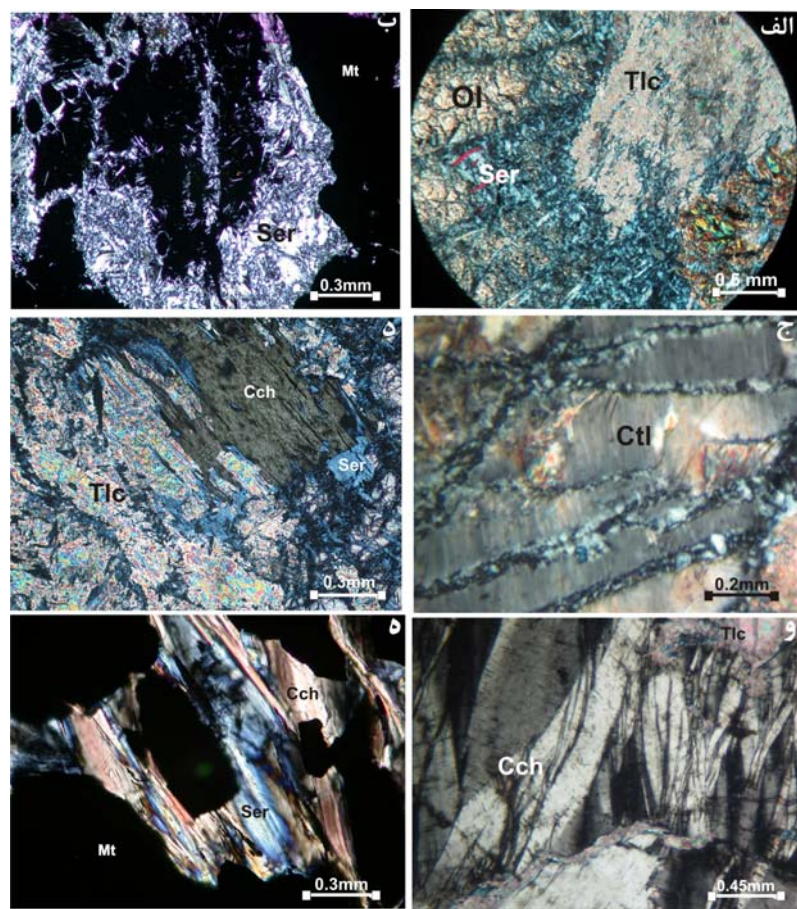
متری معدن وجود این ساختارها مشخص بوده و مرز میان آنها با کانسنسگ آهن در اغلب موارد ناگهانی است (شکل ۳، الف). ورقه‌های درشت بلور و سبز رنگ کلریت با اندازه بیش از ۱ سانتیمتر به وضوح در نمونه دستی با کانه مگنتیت سیاه رنگ قابل مشاهده‌اند (شکل ۳، ب). مگنتیت کانه اصلی کانسنسگ آهن است و دارای بافت گرانوبلاستیک می‌باشد (شکل ۴، الف). در مواردی حاشیه کانه مگنتیت به هماتیت تبدیل گردیده است (شکل ۴، ب). کانیهای غیرفلزی تالک، کلریت، سرپانتین، دولومیت، کلسیت، مسکویت، فلوگوپیت فضای میان دانه‌های مگنتیت را پر می‌کنند. میزان کانیهای غیرفلزی در اغلب نمونه‌ها بیش از ۲۰٪ است و در حفاریهای انجام شده تا عمق ۳۵۰ متری نیز دیده می‌شود. در مقاطع مطالعه شده کانی الیوین با ابعاد ۰/۵ سانتیمتر از حاشیه به سرپانتین دگرسان شده است و بافت مش با هسته الیوین ایجاد نموده است (شکل ۵، الف). البته در شرایط سرپانتینیتی شدن پیشرونده اثری از پسودومورف الیوین باقی نمانده و تماماً کانی سرپانتین همراه با مگنتیت دیده می‌شود (شکل ۵، ب). کریزوتیل با شکل فیبری و بیفرنژانس پایین قابل تشخیص است و



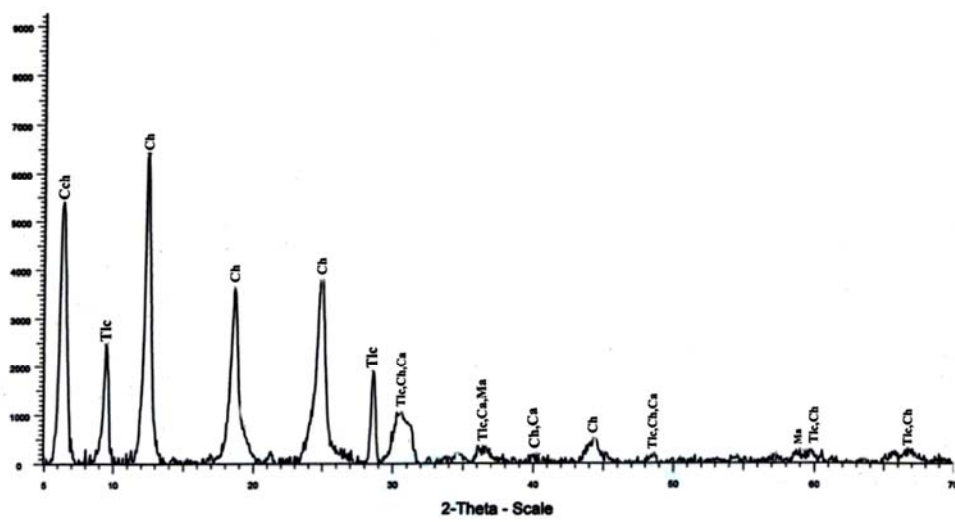
شکل ۳: الف- رگه تالک (Tlc) قطع کننده مگنتیت (Mt) در مغزه حفاری. ب- ورقه‌های درشت کلینوکلر (با علامت پیکان) به همراه کانه مگنتیت سیاه رنگ (Mt).



شکل ۴: الف- زاویه ۱۲۰ درجه ما بین بلورهای مگنتیت و بافت گرانوبلاستیک. ب- مارتیتی شدن حاشیه کانی مگنتیت در نتیجه عبور سیالات ثانویه. نور انعکاسی.



شکل ۵: الف- کانی الیوین (OI) در مجاورت تالک (TiC) که به پسودومورف کانی سرپانتین (Ser) دگرسانی پیشرونده با عدم حضور الیوین و وجود سرپانتین در میان کانه مگنتیت. ب- دگرسانی ریز سرپانتین ادحالهای ریز سرپانتین توسط کانی ورقه‌ای کلینوکلر (Cch) احاطه شده و در کنار تالک قرار گرفته‌اند. و- چین خورده‌ی ورقه‌های درشت کلینوکلر در مقیاس میکروسکوپی. ۵- وجود سرپانتین و کلینوکلر در فضای میان بلورهای مگنتیت. نور XPL.



شکل ۶: نمودار نتایج پراش پرتو ایکس، تالک شیست در کانسار آهن گل‌گهر که حضور کانیهای تالک (TiC)، کلریت (Ca)، کلسیت (Ch) و منیزیت (Ma) را نشان میدهد.

شیمی کانیها

کانسنگ آهن مورد آنالیز میکروپرور قرار گرفته‌اند که نتایج شیمی

کانیها در جدول ۱ نشان داده شده است.

در این مطالعه ۱۱ نقطه از کانیهای سرپانتین، تالک و کلریت در

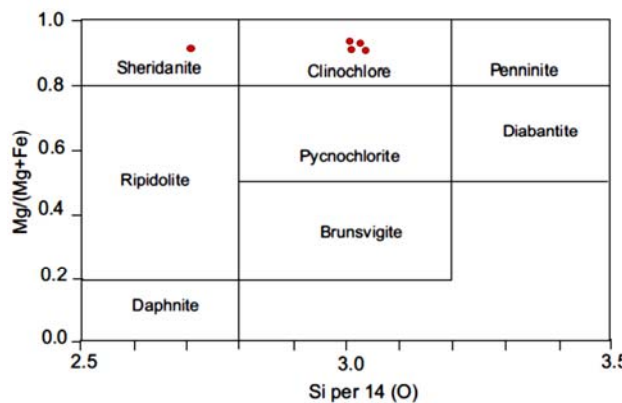
جدول ۱) نتایج آنالیز میکروپرور الکترونی کانیهای کلریت، تالک، سرپانتین در کانسنگ آهن گل‌گهر

| | کلینوکلر | | | | | | سرپانتین | | | تالک | | |
|--------------------------------|----------|-------|-------|-------|-------|-------|----------|-------|-------|-------|-------|--|
| | G6-1 | G9-2 | G17-1 | G18-1 | G18-2 | G17-2 | BH83 | G9-1 | GI-1 | GI-2 | G2-2 | |
| SiO ₂ (%) | ۲۳/۵۶ | ۲۴/۴۲ | ۲۲/۸۱ | ۲۸/۹۸ | ۲۲/۲۷ | ۴۳/۱۸ | ۴۲/۲۶ | ۴۳/۸۰ | ۶۲/۲۰ | ۶۳/۰۹ | ۶۲/۷۸ | |
| Al ₂ O ₃ | ۱۴/۰۸ | ۱۳/۲۵ | ۱۴/۲۵ | ۲۱/۷۴ | ۱۴/۵۲ | ۲/۱۵ | ۷/۶۴ | ۱/۲۱ | ۰/۰۸ | ۰/۰۲ | ۰/۰۴ | |
| TiO ₂ | + | ۰/۰۱ | + | ۰/۰۱ | + | ۰/۰۳ | ۰/۰۱ | ۰ | ۰/۰۲ | ۰/۰۱ | ۰/۰۲ | |
| Cr ₂ O ₃ | ۰/۰۱ | ۰/۰۱ | ۰/۰۱ | ۰/۰۱ | ۰ | ۰ | ۰ | ۰ | ۰/۰۲ | ۰/۰۲ | ۰ | |
| FeO | ۵/۸۷ | ۴/۵۱ | ۵/۰۹ | ۲/۹۱ | ۴/۸۲ | ۲/۸۸ | ۶/۱۲ | ۲/۶۸ | ۱/۶۳ | ۱/۸۹ | ۲/۲۴ | |
| MnO | + | + | + | + | ۰/۰۴ | ۰/۰۱ | ۰/۰۴ | ۰/۰۱ | ۰/۰۲ | ۰/۰۱ | ۰ | |
| MgO | ۲۳/۹۹ | ۲۳/۹۱ | ۲۳/۶۷ | ۲۱/۱۷ | ۲۳/۶۳ | ۳۷/۶۲ | ۲۶/۱۰ | ۳۸/۰۳ | ۲۸/۸۰ | ۲۹/۶۲ | ۲۹/۲۶ | |
| K ₂ O | + | + | + | ۰ | ۰/۰۱ | ۰/۰۱ | ۰/۰۱ | ۰ | ۰ | ۰ | ۰ | |
| CaO | ۰/۰۱ | ۰/۰۱ | ۰ | ۰/۰۲ | ۰/۰۱ | ۰/۰۱ | ۰/۰۱ | ۰/۰۴ | ۰/۰۱ | ۰/۰۱ | ۰/۰۱ | |
| Na ₂ O | -/۰۱ | ۰ | -/۰۲ | ۰ | ۰ | ۰ | ۰ | ۰ | -/۰۲ | ۰ | -/۰۲ | |
| TOT | ۸۶/۶۲ | ۸۶/۱۹ | ۸۵/۰۳ | ۸۴/۹۳ | ۸۶/۵۳ | ۸۷/۱۷ | ۸۷/۲۳ | ۸۶/۰۲ | ۹۳/۱۰ | ۹۶/۹۱ | ۹۶/۶۵ | |
| (O) | ۱۴ | ۱۴ | ۱۴ | ۱۴ | ۱۴ | ۷ | ۷ | ۷ | ۲۲ | ۲۲ | ۲۲ | |
| Si | ۲/۲۲ | ۳/۲۹ | ۳/۱۹ | ۲/۷۹ | ۳/۱۹ | ۲ | ۱/۹۷ | ۲/۱۴ | ۸/۱۰ | ۸/۰۵ | ۸/۰۵ | |
| Al ^{IV} | -/۷۸ | -/۷۱ | -/۸۱ | ۱/۲۱ | -/۸۱ | ۰ | -/۰۲ | ۰ | ۰ | ۰ | ۰ | |
| Al ^{VI} | -/۸۱ | -/۷۸ | -/۸۳ | ۱/۲۶ | -/۸۲ | -/۱۱ | -/۱۱ | -/۰۷ | -/۰۱ | -/۰۱ | -/۰۲ | |
| Ti | + | + | + | ۰ | ۰ | ۰ | ۰ | ۰ | ۰ | ۰ | ۰ | |
| Fe ^{۲+} | + | + | + | ۰ | ۰ | ۰ | ۰ | ۰ | ۰ | ۰ | ۰ | |
| Fe ^{۳+} | -/۴۷ | -/۳۶ | -/۴۱ | -/۲۲ | -/۳۸ | -/۱۳ | -/۲۲ | -/۰۹ | -/۱۸ | -/۲ | -/۲۴ | |
| Mn | + | + | + | ۰ | ۰ | ۱ | ۱/۱ | ۱ | ۰ | ۰ | ۰ | |
| Mg | ۴/۷۱ | ۴/۸۳ | ۴/۷۴ | ۴/۴۷ | ۴/۷۹ | ۲/۶۰ | ۲/۵۰ | ۲/۶۵ | ۵/۵۸ | ۵/۶۲ | ۵/۵۹ | |
| Ca | + | + | + | ۰ | ۰ | ۰ | ۰ | ۰ | ۰ | ۰ | ۰ | |
| Na | + | + | + | ۰ | ۰ | ۰ | ۰ | ۰ | ۰ | ۰ | ۰ | |
| K | + | + | + | ۰ | ۰ | ۰ | ۰ | ۰ | ۰ | ۰ | ۰ | |
| Σ Cation | ۹/۹۹ | ۹/۹۷ | ۹/۷۱ | ۹/۹۶ | ۹/۹۹ | ۵/۸۴ | ۵/۹۲ | ۵/۸۵ | ۱۳/۸۷ | ۱۴/۳۴ | ۱۴/۳۵ | |

سیال Al دار در هنگام تشکیل آنها در محیط دلیل دیگری برای مقدار بالای آلومینیوم در ساختار لیزاردیتها معرفی شده است (Cressey *et al.* 2008). در تمامی سرپانتینهای آنالیز شده مقدار Cr₂O₃ بسیار انداز و در حد صفر است که احتمالاً بیانگر مقادیر ناچیز کرم در الیونهای دگرسان شده به سرپانتین می‌باشد.

۲- کلریت و دماسانجی

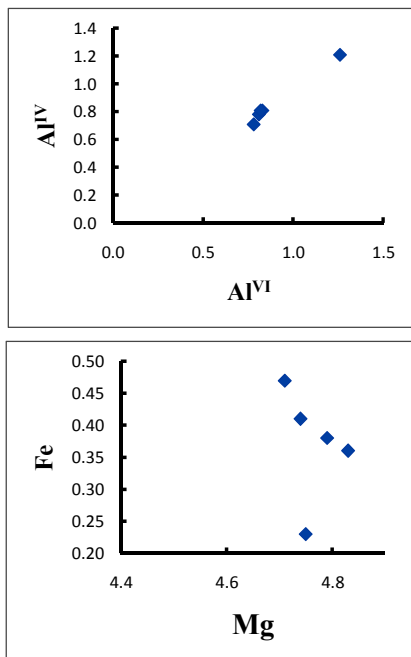
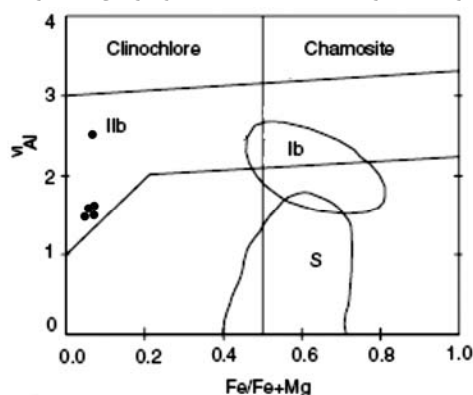
کلریت همراه با مگنتیت در کانسنگ آهن گل‌گهر تقریباً کلینوکلر خالص است و در طبقه بندی Hey (1954) اکثر نمونه‌ها در محدودی کلینوکلر و نمونه G18-1 در گستره شریدانیت قرار می‌گیرد (شکل ۷).



شکل ۷: ترکیب شیمیابی کلریت در کانسنگ آهن گل‌گهر (Hey 1954).

۱- پلیمورفهای سرپانتین:

بطور کلی گفته می‌شود که پسودومورف سرپانتین تشکیل شده از دگرسانی الیونین مقدار MgO بالاتری (wt% ۴۹-۳۴) نسبت به پسودومورف حاصل از ارتوبیروکسن (Moll ۳۸-۲۵MgO) دارد (Moll *et al.* 2007)، و با توجه به مقدار این اکسید (wt% ۳۸-۳۶) در سرپانتینهای مورد مطالعه تشکیل آنها از الیونین محتمل‌تر بنظر می‌رسد. بعلاوه، همانطور که در شکل ۵-الف مشاهده می‌شود، حضور سرپانتین در مجاورت الیونین تاییدی بر تشکیل سرپانتین در اثر دگرسانی الیونین می‌باشد. با توجه به ترکیب شیمیابی سرپانتینهای مورد مطالعه (جدول ۱) فرمول آنها براساس ۷ اتم اکسیژن به صورت (Mg_{2.4-2.7}Fe_{0.08-0.3}Al_{0-0.3})₃(Si_{1.9-2.5}Al_{0.07-2.0})₂O₅(OH)₄ محسوس می‌شود. براساس روش تفکیکی پیشنهاد شده توسط Hajialiooghli *et al.* (2007) سرپانتینهای آنالیز شده لیزاردیت هستند که البته شواهد بافتی نیز غالباً وجود این کانی را نشان می‌دهد. مقادیر بالای Al (۰/۱) در سرپانتینهای مورد مطالعه می‌تواند به دلیل جانشینی چرماک (VIAl^{IV}Al^{VI}Mg₁^{IV}Si₁^{IV}) در ساختار بلوری سرپانتین باشد. چنین جانشینی با افزایش مقادیر Al و تا حدودی Fe و کاهش Mg و Si در ساختار سرپانتین و در نتیجه افزایش دما اتفاق می‌افتد (Li *et al.* 2004). هم‌رشدی لیزاردیت با کانی کلینوکلر به دلیل جریان یافتن

شکل ۸: تغییرات عناصر Al , Fe , Mg و Si در کلینوکلرها گل‌گهر.شکل ۹: نمودار Al^{VI} در مقابل $\text{Mg}/(\text{Fe}+\text{Mg})$ برای کلریتهای همراه با کانه مگنتیت گل‌گهر، Ib = کلریت دیاژنی، IIb = کلریت دگرگونی، S = کلریتهای متورم شونده. (Curtis et al. 1985).

۳- تالک

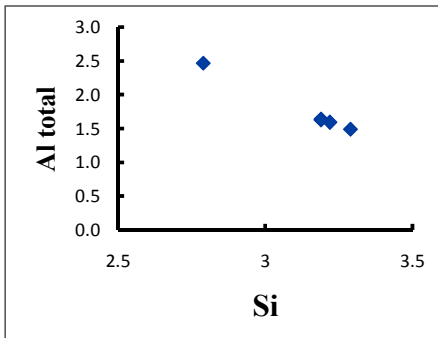
فرمول محاسبه شده تالک براساس ۲۲ اتم اکسیژن به صورت $(\text{Mg}_{5.5-5.6}\text{Fe}^{+2}_{0.2-0.24}\text{Al}^{\text{VI}}_{0.01-0.02})(\text{Si}_{8-8.5})\text{O}_{10}(\text{OH})_2$ می‌باشد. مقدار Al_2O_3 تالک پایین بوده و جانشینی Fe^{+2} به جای Mg^{+2} اندک است.

غلهای Cr_2O_3 و MnO بسیار پایین و کمتر از ۱٪ درصد می‌باشد. واکنشهای احتمالی در تشکیل کانیهای سرپانتین-تالک-

کلینوکلر

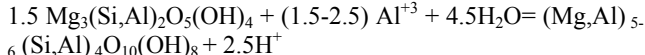
با توجه به موقعیت مجموعه کانیهای موجود در کانسنگ مگنتیت گل‌گهر در نمودار مثلثی $\text{MgO}-\text{Al}_2\text{O}_3-\text{SiO}_2$ (شکل ۱۰)، واکنشهای احتمالی زیر را می‌توان برای تشکیل کانیهای مورد مطالعه در نظر گرفت.

شridanit کانی متعلق به گروه کلریت با میزان آلمینیوم بالاتر (۰.۲۱/۷۴٪) نسبت به کلینوکلر است. فرمول محاسبه شده کلریتهای کانسار آهن گل‌گهر (براساس ۱۴ اتم اکسیژن) بصورت $(\text{Mg}_{4.5-4.83}\text{Fe}^{+2}_{0.23-0.47}\text{Al}^{\text{VI}}_{0.78-1.26})(\text{Si}_{2.79-3.30}\text{Al}^{\text{IV}}_{0.78-1.20})\text{O}_{10}(\text{OH})_4$ گزارش می‌شود. در شکل ۸، ارتباط بین عناصر مختلف موجود در ترکیب شیمیایی کلریتهای مورد مطالعه مشخص شده است. به استثنای نمونه G18-1 که شridanit می‌باشد، عناصر $\text{Al}^{\text{IV}}-\text{Al}^{\text{VI}}$ در کلینوکلرها همبستگی مثبت و Mg رابطه منفی با Fe نشان می‌دهند. همچنین Al کل و Si رابطه منفی با یکدیگر دارند. این روابط برای کانی کلینوکلر صدق می‌نماید و نمونه‌ای که از روند کلی داده‌ها تبعیت نمی‌کند شridanit می‌باشد. ارتباط ذکر شده میان عناصر فوق بیانگر جانشینی چرماک و $\text{Fe}-\text{Mg}$ در ساختار کلینوکلر است که با افزایش دما مطابقت دارد و نیز تأثیر ترکیب کل سنگ بر روی ترکیب کلریت را آشکار می‌نماید (Munguira et al. 2002). تغییر در ترکیب واحد فرمولی کلریتها در دماهای متفاوت توسط اغلب محققین پذیرفته شده است. به عنوان مثال McDowell & Elders (1980) چنین بیان می‌نمایند که افزایش مقدار Al^{IV} کلریت متاثر از افزایش دما و نسبت $\text{Fe}/(\text{Fe}+\text{Mg})$ در واحد فرمولی آن می‌باشد. نتایج حاصل از دما‌سنجی کلریت به روش‌های Cathelineau & Nieva (1985), Zang & Fyfe (1985), Kranidiotis & McLean (1987), Xie et al. (1997) که هر یک بر اساس تأثیر ترکیب سنگ کل بر ترکیب کلریت و مقدار $\text{Fe}/(\text{Fe}+\text{Mg})$ ساختار فرمولی آن معادلاتی با کالیبراسیونهای متنوع ارائه نموده‌اند، میانگین دمایی ۲۰۰ تا حدود ۳۰۰ درجه سانتیگراد را برای کلینوکلرها مورد مطالعه نشان می‌دهد (جدول ۱). در نمودار Al^{VI} در برابر $\text{Fe}/(\text{Fe}+\text{Mg})$ (Curtis et al. 1985) که محدوده کلریتهای دیاژنی و دگرگونی آهن و منیزیم‌دار بر روی آن مشخص شده است، کلریتهای منطقه مورد مطالعه در گستره دگرگونی قرار می‌گیرند (شکل ۹).



سرپانتین و الیوین در دمای ۵۰۰-۴۵۰ درجه سانتیگراد پایدار بوده است اما با پیشرفت فرآیند سرپانتینی شدن در دمای ۳۰۰ درجه نیز پایدار بوده است.

د) کلریت: گروه کلریت مجموعه فراوانی از کانیهای سیلیکاته آهن-منیزیم آبدار را در بر می‌گیرد که می‌توانند در اکثر سنگهای دگرگونی، رسوبی و آذرین تشکیل شوند. با توجه به همراهی کلینوکلر، سرپانتین و تالک و دمای محاسبه شده برای کلینوکلر به نظر می‌رسد این کانی در طی واکنش زیر تشکیل گردیده باشد (Wang et al., 2009)

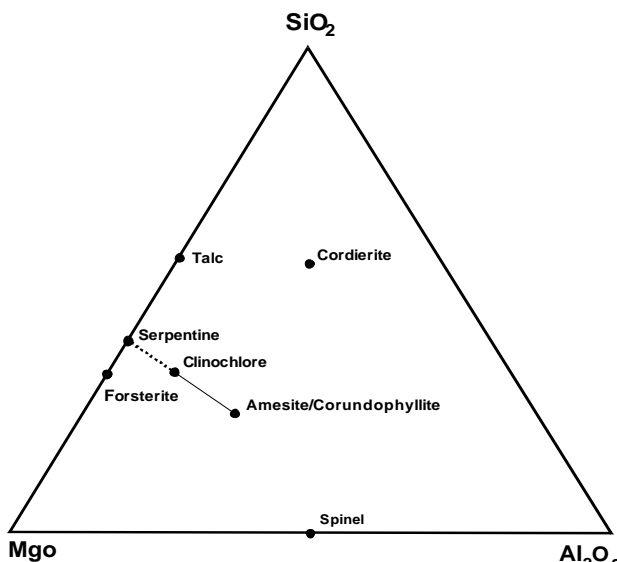


کلینوکلر

در شکل ۱۱ منحنی ۳ محدوده پایداری کلینوکلر گل‌گهر نشان داده شده است که دما به بیش از ۲۵۰ درجه سانتیگراد و XCO_2 به بیش از ۵٪ افزایش یافته است.

جدول ۲: میانگین دمای کلریتهای کانسار گل‌گهر به روشهای مختلف

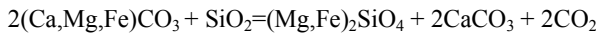
| معادله | روش | T°C |
|--|-----------------------------|--------|
| $T=106.2 [\text{Al(IV)} - 0.88(\text{Fe}/(\text{Fe+Mg})-0.34)] + 17.5$ $\text{Fe}/(\text{Fe+Mg}) = 0.27-0.38$ | Zang & Fyfe (1995) | 225.93 |
| $T=106.2\text{Al(IV)} + 17.5$ | Cathelineau & Nivea (1985) | 201.25 |
| $T=106 [\text{Al(IV)} + 0.7\text{Fe}/(\text{Fe+Mg})] + 18$ | Kranidiotis & McLean (1987) | 207.3 |
| $T=321.98[\text{Al(IV)} + 1.33(0.31 - \text{Fe}/(\text{Fe+Mg})) - 61.92]$ $\text{Fe}/(\text{Fe+Mg}) < 0.31$ | Xie et al. (1997) | 318.23 |



شکل ۱۰: فازهای سیلیکاته مشارکت کننده در کانسارت و روابط آنها بر روی



الف) الیوین: این کانی از جمله کانیهای فرومیزیم است که در اثر تبلور ماقمای مافیک و الترامافیک و یا در نتیجه فرآیند تشکیل اسکارن منیزیمی آهن، از واکنش سیال سیلیکاته با کربنات آهن-منیزیم در طی دگرگونی مجاورتی تشکیل می‌شود:

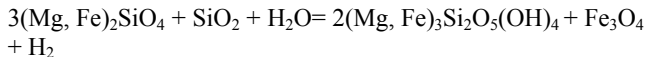


دolomit

الیوین تشکیل شده در اسکارن عمدها همراه با دیوپسید و یا کلسیت است. واکنشگرهایی همچون دیوپسید، و ترمولیت همراه با دولومیت در دمای حدود ۴۰۰-۵۰۰ درجه سانتیگراد و XCO_2 تا $0/۶-۰/۳$ منجر به تشکیل الیوین اسکارنی می‌شوند (Gallien et al. 2007). کاهش دما به ۵۰۰-۴۰۰ درجه سانتیگراد و XCO_2 به $0/۰۶-0/۰۹$ تشکیل سرپانتین، تالک و کلریت را همراه با الیوین به دنبال خواهد داشت (Lee et al. 1998).

ب) سرپانتین: کانیهای سرپانتین (آنتی گوریت، لیزاردیت، کربیزوتیل) عموماً در طی هیدراسیون کانیهای مافیک

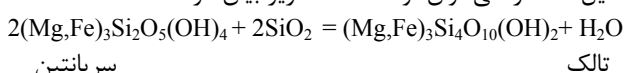
همچون الیوین تشکیل می‌شوند. از آنجایی که در نمونه‌های مورد مطالعه پسodomorf کانی الیوین در اثر دگرسانی به کانیهای سرپانتین مشاهده می‌گردد، واکنش زیر را می‌توان برای تشکیل سرپانتین در نظر گرفت:



سرپانتین

شرايط کلی دما، فشار و XCO_2 پایداری سرپانتینها در شکل ۱۱ نشان داده شده است. همانطورکه مشخص است سرپانتینها در دماهای کمتر از ۶۰۰ درجه سانتیگراد و در محدوده وسیعی از فشار و XCO_2 پایدارند. بنظر می‌رسد که سرپانتینها مورد مطالعه در دمای ۴۵۰-۵۰۰ درجه سانتیگراد و XCO_2 بیشتر از ۵٪ در زمان تعادل با الیوین و تالک (Harris & Einaudi, 1982) و تا دمای کمتر از ۲۵۰ درجه سانتیگراد و XCO_2 کمتر از ۲٪ در زمان سرپانتینی شدن پیشرونده و تشکیل کربیزوتیل (Auzende et al. 2006) پایدار بوده‌اند.

ج) تالک: کانی تالک در اثر دگرگونی سنگهای کربناته همچون دولومیت و نیز از دگرسانی سرپانتینها تشکیل می‌شود. کانی تالک در کانسارت گل‌گهر عمدها با سرپانتین و کلینوکلر همراه بوده و در قالب سنگ تالک شیست نیز در توده معدنی دیده می‌شود. واکنش احتمالی تشکیل تالک را می‌توان توسط معادله زیر بیان کرد:



تالک

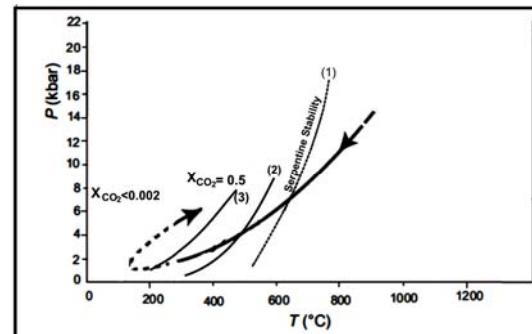
همانطور که در شکل ۱۱ (منحنی ۲) دیده می‌شود محدوده پایداری تالک بطور کلی گستردده است اما محصولات این واکنش در فشار ۲ کیلوبار و دمای حدود ۳۰۰ درجه می‌توانند پایدار می‌باشند

مرحله سوم (دگرگونی)

در این مرحله با افزایش ذما، ورقه‌های درشت کلینوکلر و شریدانیت از واکنش سیالات آلومینیومدار (احتمالاً حاصل از دگرگونی واحدهای سنگی آلومینیوم دار کمپلکس گل‌گهر) با سرپانتین تشکیل شده‌اند که حضور ادخالهای سرپانتین در کلینوکلر نشانده‌ند این فرآیند است. پیچ خوردگی ورقه‌های کلینوکلر حاکی از رخداد دگرشکلی بعدی در محیط می‌باشد. با توجه به نحوه ارتباط میان مجموعه کانی‌های الیوین، سرپانتین، تالک و کلینوکلر با کانه مگنتیت مراحل فوق در کانسنگ آهن تأثیر گذار بوده است. چنانکه متاسوماتیسم می‌تواند منجر به اکسیداسیون حاشیه دانه‌های مگنتیت و دگرگونی منجر به تبلور مجدد کانه مگنتیت شود.

نتیجه گیری

با توجه به مطالعات انجام شده چنین استدلال می‌شود که پلی‌مورفهای سرپانتین عمده‌تا از دگرسانی الیوین تشکیل شده‌اند و از میان کانیهای آنتی‌گوریت، لیزاردیت و کریزوتیل، بیشترین فراوانی متعلق به لیزاردیت است. سرپانتینی شدن با افت دما تا مراحل انتهای خود که با تشکیل سرپانتینی همراه است پیش رفته است. کانه تالک نیز در همان مراحل سرپانتینی شدن از دگرسانی سرپانتین بوجود آمده است. ورقه‌های درشت کلینوکلر متعاقب سرپانتینی شدن و افزایش دما و مقدار آلومینیوم سیال، تحت تأثیر دگرگونی سرپانتین ایجاد شده اند. از آنجا که مجموعه کانیهای تالک، سرپانتین و کلینوکلر عمده‌تا همراه با کانسنگ آهن گل‌گهر دیده می‌شوند، یقیناً مراحل فوق از جمله فرآیندهای متاسوماتیسم و دگرگونی دخیل در تشکیل این کانیها، توده معدنی را نیز تحت تأثیر قرار داده‌اند. مارتیتی شدن حاشیه کانه مگنتیت در اثر واکنش با سیالات آبدار در طی مراحل متاسوماتیسم حادث گردیده و دگرگونی به گسترش کلینوکلر و بافت موzaیکی در میان دانه‌های مگنتیت منجر شده است.



شکل ۱۱: منحنی پایداری ترکیب کانی‌ها براساس تغییرات دما و فشار. -۱ منحنی پایداری سرپانتینها، -۲- منحنی تشکیل تالک -۳- منحنی تشکیل کلینوکلر (Hajjalioghli et al. 2007).

بحث

براساس شواهد صحرایی، روابط کانی شناسی و بافتی همچون حضور پسودمورف الیوین و فراوانی کانیهای سرپانتین همراه تالک، کلینوکلر در زمینه کانه مگنتیت در کانسار آهن گل‌گهر، و نحویه گسترش آنها (به صورت پرکننده فضای میان مگنتیت و به شکل رگه‌ها و باندهای موجود در سطح تماس توده معدنی با سنگهای در بر گیرنده)، و همچنین شرایط دما و $X\text{CO}_2$ واکنش‌های ذکر شده می‌توان چند مرحله را در تشکیل این مجموعه‌ها مؤثر دانست.

مرحله اول (دما بالا): این مرحله با تشکیل کانیهای نسبتاً دما بالا همچون الیوین مشخص می‌گردد. چنین به نظر می‌رسد که الیوین در دمای بیش از ۵۵۰ درجه سانتیگراد و قبل از دگرسانی و دمای به تعادل رسیدنش با سرپانتین - تالک (۴۵۰-۵۰۰ درجه سانتیگراد) تشکیل شده است.

مرحله دوم (متاسوماتیسم): با افت دما به حدود ۴۰۰-۵۰۰ درجه سانتیگراد، ورود سیالات آبدار به محیط الیوین به سرپانتین دگرسان شده است. با پیشرفت سرپانتینی شدن و کاهش دما به ۲۵۰-۳۰۰ درجه سانتیگراد، تالک و پلی‌مورفهای سرپانتین کاملاً جانشین الیوین شده‌اند.

منابع:

- تربابان س. ۱۳۸۶: کانی زایی و ژئوآنومالی معدن سه گل‌گهر سیرجان با تکیه بر توزیع عناصر جزئی. رساله کارشناسی ارشد زمین شناسی اقتصادی، دانشگاه تربیت حجاجی ا. ۱۳۷۰: مطالعه کانی شناسی عناصر کمیاب و منشأ کانسار آهن گل‌گهر. رساله کارشناسی ارشد زمین شناسی اقتصادی، دانشگاه تربیت معلم تهران.

سیزه ای. م. ۱۳۷۶: نقشه زمین شناسی ۱:۱۰۰۰۰۰ گل‌گهر. سازمان زمین شناسی و اکتشافات معدنی کشور

- Auzende A.L., Guillot G., Devouard B., Baronnet A. 2006: Behaviour serpentinites in convergent context : Microstructural evidence. *European Journal of Mineralogy*. **18**: 21-33.
Cathelineau M., Nieva, D. 1985: A chlorite solid solution geothermometer, The Los Azufres (Mexico) geothermal system. *Contrib. Mineral. Petrol.* **91**: 235-244.
Cressey G., Cressey B.A., Wicks F.J. 2008: The significance of the aluminium content of a lizardite at the nanoscale: the role of

- clinochlore as an aluminium sink. *Mineralogical Magazine*. **72**: 817–825.
- Curtis C.D., Hughes, C.R., Whiteman, J.A., Whittle C.K., 1985: Compositional variation within some sedimentary chlorites and some comment on their origin. *Mineralogical Magazine*. **49**:37–386.
- Gallien F., Abart, R., Wyhlidal S., 2007: Contact metamorphism and selective metasomatism of the layered Bellerophon Formation in the eastern Monzoni contact aureole, northern Italy. *Mineralogy and Petrology*. **91** 25–53.
- Hajjalioghli R; Moazzen M; Droop G.T.R; Oberhansli R; Bousquet R; Jahangiri A, Ziemann M. 2007:Serpentine polymorphs and P-T evolution of metaperidotites and serpentinites in the Takab area, NW Iran. *Mineralogical Magazine*, 71, 203-222 .
- Harris N.B., Einaudi M.T. 1982: Skarn deposits in the Yerington district, Nevada: Metasomatic skarn zinc evolution near Ludwig. *Econ Geol*. **77**: 877-898.
- Hey M.H., 1954: A new review of the chlorites. *Mineralogical Magazine*. **30**: 277- 292.
- Kranidiotis P., McLean, W.H. 1987: Systematics of chlorite alteration at the Phelps Dodge massive sulfide deposit. Matagami, Quebec. *Economic Geology*. **82**: 1898 - 1991.
- Lee C. H, Lee, H. K., Kim S. J. 1998: Geochemistry and mineralization age of magnesian skarn-type iron deposits of the Janggun mine, Republic of Korea. *Mineralium Deposita*. **33**: 379-390.
- Li X.P., Rahn M., Bucher K. 2004: Metamorphic processes in rodingites of the Zermatt-Saas ophiolites. *International Geological Review*. **46**: 28-51.
- McDowell S.D., Elders W.A. 1980: Authigenic layer silicate minerals in borehole Elmore 1, Salton sea geothermal field, California, USA. *Contrib. Mineral. Petrol.* **74**: 293-310.
- Moll M., Paulick H., Suhr G., Bach W. 2007: 2. data report: microprobe analyses of primary phases (olivine, pyroxene and spinel) and alteration products (serpentine, iowaite, talc, magnetite and sulfides) in holes 1268A, 1272A and 1274A1. Proceedings of the Ocean Drilling Program, *Scientific Results*. **209**: 1-13.
- Mucke A., Younessi R. 1994: Magnetite-apatite deposits (Kiruna-type) along the Sanandaj-Sirjan zone and the Bafq area, Iran, associated with ultramafic and calcalkaline rocks and carbonatites. *Mineralogy and petrology*. **50**: 219-244.
- Munguira A.L., Nieto F., Morata D. 2002: Chlorite composition and geothermometry:a comparative HRTEM/AEM-EMPA study of Cambrian basic lavas from the Ossa Morena Zone, SW Spain. *Clay Minerals*. **37**: 267–281.
- Sheikholeslami R., Bellon H., Emami H., Sabzehei M., Pique A. 2003: Nouvelles données structurales et datations 40K-40Ar sur les roches métamorphiques de la région de Neyriz (Zone de Sanandaj-Sirjan, Iran méridional). Leur intérêt dans le cadre du domaine néo-tethysien du Moyen-Orient. *C. R. Geoscience*. **335**: 981-991.
- Wang X., Zeng Z., Chen J. 2009: Serpentinization of peridotites from the southern Mariana forearc. *Progress in Natural Science*. **19**: 1287–1295.
- Xie X., Byerly G.R., Ferrell R.E. 1997: IIb trioctahedral chlorite from the Barberton greenstone belt: crystal structure and rock composition constraints with implications for geothermometry. *Contributions to Mineralogy and Petrology*. **126**: 275-291.
- Zang W., Fyfe, W.S. 1995: Chloritization of the hydrothermally altered bedrock at the Igarape Bahia gold deposite, Carajas, Brazil. *Mineral. Deposita*. **30**: 30-38.